Д. т. н. В. В. Кузин (⊠), д. т. н. С. Н. Григорьев

ФГБОУ ВО «Московский государственный технологический университет «Станкин», Москва, Россия

УДК 666.3:546'28'171]:621.914.22

# ПРОЕКТИРОВАНИЕ КОНЦЕВЫХ КЕРАМИЧЕСКИХ ФРЕЗ ДЛЯ ИННОВАЦИОННЫХ ТЕХНОЛОГИЧЕСКИХ ПРОЦЕССОВ С УЧЕТОМ ИХ НАПРЯЖЕННО-ДЕФОРМИРОВАННОГО СОСТОЯНИЯ. ВЫБОР КЕРАМИКИ. Часть 3\*

Изучена неоднородность напряжений на границах основных структурных элементов Si<sub>3</sub>N<sub>4</sub>-керамики в условиях нестационарной термоупругости. Приведены созданные рекомендации по выбору рациональной керамики для изготовления концевых керамических фрез, предназначенных для обработки деталей из труднообрабатываемых материалов.

**Ключевые слова:** концевая керамическая фреза,  $Si_3N_4$ -керамика, нестационарная термоупругость, неоднородность напряжений, тепловое состояние.

# **ВВЕДЕНИЕ**

В части 1 статьи [1] показана необходимость исследования теплового состояния и выявления неоднородности напряжений в поверхностном слое керамического лезвия фрез из  $Al_2O_3$ - и  $Si_3N_4$ -керамики в условиях действия циклической тепловой нагрузки. В части 2 статьи [2] эти исследования выполнены для лезвия фрезы из  $Al_2O_3$ -керамики при нагреве. В настоящей работе поставлена цель — изучить тепловое состояние и неоднородность напряжений на границах основных структурных элементов  $Si_3N_4$ -керамики при нагреве и, используя эти результаты в совокупности с результатами работы [5], обосновать выбор рациональной керамики для изготовления концевых керамических фрез [2–4].

# **МЕТОДИКА ЧИСЛЕННЫХ ЭКСПЕРИМЕНТОВ**

В численных экспериментах использовали методику и расчетную схему, приведенную в статье [2]. Исследовали структурную неоднородность напряжений в керамике двух систем: система № 1 —  $Si_3N_4-Y_2O_3-Si_3N_4-9\Pi741H-\Pi$  (зерно и матрица выполнены из  $Si_3N_4$ , межзеренная фаза — из

В. В. Кузин

E-mail: dr.kuzinvalery@yandex.ru

Y<sub>2</sub>O<sub>3</sub>, слой на поверхности керамики — из сплава ЭП741H-П), система № 2 — TiC-Y<sub>2</sub>O<sub>3</sub>-Si<sub>3</sub>N<sub>4</sub>-ЭП741Н-П (зерно — из ТіС, межзеренная фаза — из  $Y_2O_3$ , матрица — из  $Si_3N_4$ , слой на поверхности керамики — из сплава ЭП741Н-П). Ссылки на справочники и монографии, из которых позаимствованы свойства этих материалов, приведены в публикации [3]. Керамическое лезвие нагружали сосредоточенной силой F = 0.02 H, β = 45°, распределенной силовой нагрузкой  $P = 5.10^8$  Па и тепловым потоком  $Q = 9.10^8$  Вт/м<sup>2</sup>. При этом с поверхностей керамической пластины, свободных от теплового потока, осуществляли теплоотвод в окружающую среду с коэффициентом  $h = 10^5$ Вт/(м<sup>2</sup>·град). Расчеты выполняли в автоматизированной системе термопрочностных расчетов RKS-ST v.1.0 [4]. Для количественной оценки температур T и интенсивности напряжений  $\sigma_i$  использовали выделенные контрольные точки (КТ) [5], имевшие такое же расположение в поверхностях основных структурных элементов керамики, как в статье [2].

### РЕЗУЛЬТАТЫ И ИХ ОБСУЖДЕНИЕ

Установлено, что кривые, определяющие влияние времени нагрева  $\tau$  на температуру T в КТ керамики систем № 1 и 2, имеют простую форму и состоят из двух характеристических участков. На первом характеристическом участке (этап нестационарной термоупругости) происходит резкое повышение температуры во всех КТ до  $T_1$  за  $\tau = 0.04$  с, на втором (этап стационарной термоупругости) температура стабилизируется на уровне  $T_1$  и далее не изменяется. При охлаждении керамического лезвия происходит обрат-

<sup>\*</sup> Часть 1 статьи опубликована в журнале «Новые огнеупоры» № 10 за 2018 г., часть 2 — в № 4 за 2019 г.

ный процесс. Установлено, что значения  $T_1$  для всех КТ керамики системы № 1 выше, чем системы № 2. Например, значение  $T_1$  в КТ1 керамики системы № 1 составляет 1195 °C, а керамики системы № 2 — 917 °C.

Характер изменения T в поверхностях A и  $\Gamma$  керамики систем № 1 и 2 при ее выходе на стационарный режим показан на рис. 1. В заштрихованной области расположены кривые, определяющие характер изменения T в поверхностях E и E сопоставление температур в поверхностном слое керамики систем № 1 и 2 выявило их значительную разницу. В керамике системы № 1 разница между наибольшими и наименьшими значениями температур в поверхностях E и E составляет 630, 649, 670 и 688 °C, в керамике системы № 2 эта разница составляет соответственно 300, 388, 471 и 555 °C.

Тепловое состояние лезвия фрезы из керамики систем № 1 и 2 во время нагрева определяет характер его упругой деформации, имеющей вид «выпучивания». Наибольшей деформации подвергается центральный участок на поверхности зерна и соответственно керамического лезвия. Следует отметить, что до нагрева действует только силовая нагрузка (F = 0,0001 H,  $\beta = 45^{\circ}$ ,  $P = 5.10^{\circ}$  Па), которая приводит к упругой деформации керамического лезвия в виде «вдавливания».

На рис. 2 показан характер изменения  $\sigma_i$  в разных поверхностях керамики систем № 1 и 2 до нагрева (действует только силовая нагрузка) и после нагрева (действует комбинированная нагрузка).

Установлено, что вид кривых, описывающих изменение  $\sigma_i$  в поверхности A, до нагрева практически одинаков для керамики систем № 1 и 2 (см. рис. 2, a,  $\delta$ ). Однако нагрев (принципиально не изменяя вид этих кривых) уменьшает значения  $\sigma_i$  для керамики системы № 1 и увеличивает значения  $\sigma_i$  для керамики системы № 2 по сравнению с исходными значениями до нагрева: до нагрева керамики системы № 1 они изменяются от 468 до 876 МПа при  $\sigma_{\rm cp}=649$ ,6 МПа, а после нагрева — от 370 до 892 МПа при  $\sigma_{\rm cp}=598$ ,6 МПа (рис. 2, a); до нагрева керамики системы № 2 они изменяются от 504 до 922

МПа при  $\sigma_{cp} = 687.8$  МПа, а после нагрева — от 573 до 910 МПа при  $\sigma_{cp} = 707.2$  МПа (см. рис. 2, б).

Форма кривых, определяющих характер изменения  $\sigma_i$  в поверхности E керамики систем № 1 и 2 до и после нагрева, существенно различается (см. рис. 2, e, e). При этом средние значения  $\sigma_i$  для керамики системы № 1 до и после нагрева выше, чем у керамики системы № 2: до нагрева керамики системы № 1 они изменяются от 450 до 821 МПа при  $\sigma_{cp} = 591,8$  МПа, а после нагрева — от 503 до 703 МПа при  $\sigma_{cp} = 595,9$  МПа (см. рис. 2, e); до нагрева керамики системы № 2 они изменяются от 411 до 693 МПа при  $\sigma_{cp} = 539,6$  МПа, а после нагрева — от 364 до 677 МПа при  $\sigma_{cp} = 520$  МПа (см. рис. 2, e).

Характер изменения  $\sigma_i$  в поверхности B керамики систем № 1 и 2 до и после нагрева практически одинаков (см. рис. 2,  $\partial$ , e). Значения  $\sigma_i$  для керамики системы № 1 до и после нагрева несколько выше, чем у керамики системы № 2: до нагрева керамики системы № 1 они изменяются от 405 до 815 МПа при  $\sigma_{\rm cp} = 564,6$  МПа, а после нагрева — от 403 до 794 МПа при  $\sigma_{\rm cp} = 559,3$  МПа (см. рис. 2,  $\partial$ ); до начала нагрева керамики системы № 2 они изменяются от 387 до 739 МПа при  $\sigma_{\rm cp} = 545,4$  МПа, а после нагрева — от 415 до 657 МПа при  $\sigma_{\rm cp} = 525,6$  МПа (см. рис. 2, e).

Характер изменения  $\sigma_i$  в поверхности  $\Gamma$  керамики системы № 1 до и после нагрева практически одинаков, а вид этих кривых (до и после нагрева) для керамики системы № 2 существенно различается. Значения  $\sigma_i$  в этой поверхности керамики системы № 1 до нагрева выше и после нагрева ниже, чем у керамики системы № 2: до нагрева керамики системы № 1 они изменяются от 415 до 946 МПа при  $\sigma_{\rm cp} = 612,8$  МПа, а после нагрева — от 349 до 959 МПа при  $\sigma_{\rm cp} = 566,7$  МПа (см. рис. 2,  $\varkappa$ ); до нагрева керамики системы № 2 они изменяются от 389 до 904 МПа при  $\sigma_{\rm cp} = 574,5$  МПа, а после нагрева — от 389 до 874 МПа при  $\sigma_{\rm cp} = 637,1$  МПа (см. рис. 2, 3).

Анализ результатов численных экспериментов показал, что керамика на основе оксида алюминия систем № 1 ( $Si_3N_4$ – $Y_2O_3$ – $Si_3N_4$ –ЭП741H-П) и № 2 (TiC– $Y_2O_3$ – $Si_3N_4$ –ЭП741H-П) выходит на стационар-

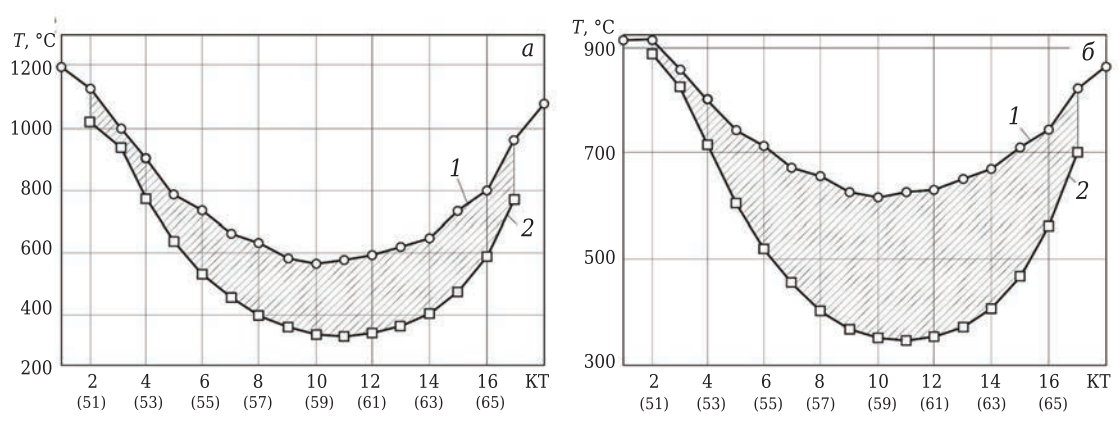


Рис. 1. Характер изменения T в поверхностях A (1) и  $\Gamma$  (2) керамики систем № 1 (a) и № 2 ( $\delta$ ) после нагрева

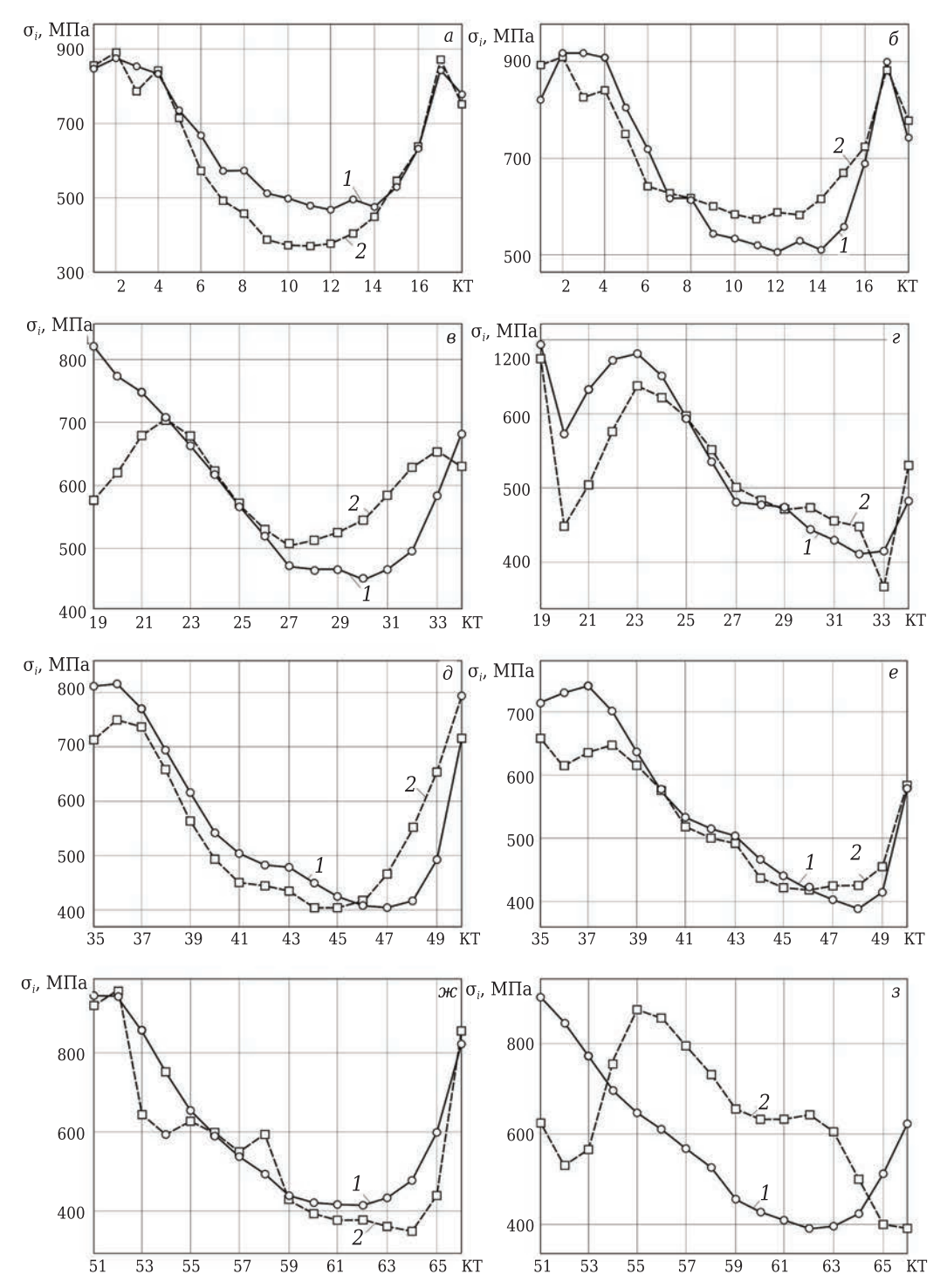


Рис. 2. Характер изменения  $\sigma_i$  в поверхностях A  $(a, \delta)$ , B  $(e, \epsilon)$ , B (∂, e) и  $\Gamma$  (ж, 3) керамики систем № 1 (a, e, ∂, ж) и № 2  $(6, \epsilon, e, 3)$  до (1) и после нагрева (2)

ный тепловой режим за время  $\tau=0.04$  с. Установлено, что высокие температуры формируются в поверхностном слое керамики системы N=1.

Характер изменения  $\sigma_i$  в поверхностях A, B и B керамики систем № 1 и 2 до и после нагрева практически одинаков. В поверхности  $\Gamma$  керамики системы № 1 до и после нагрева характер изменения  $\sigma_i$  также практически одинаков, однако в поверхности  $\Gamma$  керамики системы № 2

характер изменения  $\sigma_i$  до и после нагрева существенно различается.

## **ЗАКЛЮЧЕНИЕ**

Созданные рекомендации по выбору рациональной керамики для изготовления концевых керамических фрез, предназначенных для обработки деталей из труднообрабатываемых материалов,

основаны на результатах сравнения температур и неоднородности напряжений в поверхностях A, E, E и E керамики четырех систем (E03–E107-E11-E111-E111-E12, Si3N4-E17-E17-E18

Спозиций теплового состояния Si<sub>3</sub>N<sub>4</sub>-керамика является более подходящим материалом для изготовления монолитных керамических фрез, чем  $Al_2O_3$ -керамика. Прежде всего, это связано с тем, что наибольшая температура при выходе на стационарный тепловой режим в керамике системы  $Si_3N_4-Y_2O_3-Si_3N_4-Э\Pi 741H-\Pi$  на 20 % ниже, чем в керамике системы  $Al_2O_3$ –MgO– $Al_2O_3$ –ЭП741H-П.Разница между наибольшей и наименьшей температурой в поверхностях A, B, B и  $\Gamma$  керамики системы  $Si_3N_4-Y_2O_3-Si_3N_4-Э\Pi 741H-\Pi$  на 42, 31, 19 и 10 % соответственно ниже, чем в керамике системы  $Al_2O_3$ -MgO- $Al_2O_3$ -ЭП741Н-П. Учитывая одинаковые расстояния, на которых формируются эти температуры в поверхностях структурных элементов керамики, можно утверждать, что температурные градиенты в поверхностном слое керамики системы  $Si_3N_4-Y_2O_3-Si_3N_4-Э\Pi 741H-\Pi$ также на 10-40 % ниже, чем в керамике системы  $Al_2O_3-MgO-Al_2O_3-9\Pi741H-\Pi$ .

С позиций напряженного состояния  $Si_3N_4$ -керамика также наиболее предпочтительна для изготовления монолитных керамических фрез, чем  $Al_2O_3$ -керамика. Этот вывод сделан на осно-

### Библиографический список

- 1. **Кузин, В. В.** Проектирование концевых керамических фрез для инновационных технологических процессов с учетом их напряженно-деформированного состояния. Выбор керамики. Часть 1 / В. В. Кузин, С. Н. Григорьев, М. А. Волосова // Новые огнеупоры. 2018. № 10. С. 68–73.
- 2. **Кузин, В. В.** Проектирование концевых керамических фрез для инновационных технологических процессов с учетом их напряженно-деформированного состояния. Выбор керамики. Часть 2 / B. В. Кузин, С. Н. Григорьев // Новые огнеупоры. 2019. 84. C. 65-69.
- 3. **Кузин, В. В.** Инструменты с керамическими режущими пластинами / В. В. Кузин. М. : Янус-К, 2006. 160 с.

ве сравнения наибольших значений о; и разницы между наибольшим и наименьшим значением  $\sigma_i$  в поверхностях A, B, B и  $\Gamma$  керамики четырех систем. Установлено, что наибольшие значения о; и разница между наибольшим и наименьшим значением  $\sigma_i$  в поверхностях A, B, B и  $\Gamma$  до нагрева в керамике систем  $Al_2O_3$ –MgO– $Al_2O_3$ –ЭП741Н-П и  $Si_3N_4-Y_2O_3-Si_3N_4-Э\Pi 741H-\Pi$  практически одинаковы и разница не превышает 1 %. После нагрева эти показатели в керамике системы Si<sub>3</sub>N<sub>4</sub>-Y<sub>2</sub>O<sub>3</sub>- $Si_3N_4$ –ЭП741Н-П меньше, чем в керамике  $Al_2O_3$ –  $MgO-Al_2O_3-ЭП741H-П$ , на 6, 14, 31 и 11 % соответственно. При этом разница между наибольшим и наименьшим значением  $\sigma_i$  в поверхности Aпосле нагрева в керамике систем Al<sub>2</sub>O<sub>3</sub>-MgO- $Al_2O_3$ –ЭП741Н-П и  $Si_3N_4$ – $Y_2O_3$ – $Si_3N_4$ –ЭП741Н-П практически одинакова, а в поверхностях Б, В и  $\Gamma$  керамики системы  $Si_3N_4-Y_2O_3-Si_3N_4-9\Pi741H-\Pi$ ниже, чем в керамике системы Al<sub>2</sub>O<sub>3</sub>-MgO- $Al_2O_3$ –ЭП741Н-П, на 85, 72 и 13 % соответственно.

При анализе керамики систем TiC-MgO-Al<sub>2</sub>O<sub>3</sub>-ЭП741Н-П и  $TiC-Y_2O_3-Si_3N_4-ЭП741$ Н-П выявлено, что до нагрева наибольшие значения σ<sub>i</sub> и разница между наибольшим и наименьшим значением о; в поверхностях A, B, B и  $\Gamma$  этих систем практически одинаковы и разница не превышает 4 %. Однако после нагрева наибольшие значения  $\sigma_i$  в поверхностях Б и B керамики системы  $TiC-Y_2O_3-Si_3N_4-Э\Pi 741H-\Pi$ меньше, чем в керамике системы TiC-MgO-Al<sub>2</sub>O<sub>3</sub>-ЭП741Н-П, на 73 и 62 % соответственно. В поверхностях A и  $\Gamma$  керамики системы  $TiC-MgO-Al_2O_3-$ ЭП741Н-П после нагрева наибольшие значения  $\sigma_i$ меньше, чем в керамике  $TiC-Y_2O_3-Si_3N_4-9\Pi741H-\Pi$ , на 12 и 7 % соответственно. При этом разница между наибольшим и наименьшим значением оі в поверхностях Б и В керамики системы ТіС-Y<sub>2</sub>O<sub>3</sub>- $Si_3N_4$ –ЭП741Н-П меньше, чем в керамике TiC–MgO–  $Al_2O_3$ –ЭП741Н-П, на 58 и 53 % соответственно. В поверхностях A и  $\Gamma$  керамики системы TiC-MgO- $Al_2O_3$ -ЭП741Н-П после нагрева наибольшие значения  $\sigma_i$  меньше, чем в керамике  $TiC-Y_2O_3-Si_3N_4-$ ЭП741Н-П, на 31 и 9 % соответственно.

\* \* \*

Исследование выполнено за счет гранта Российского научного фонда (проект № 18-19-00599).

4. **Grigor'ev, S. N.** Automated thermal-strength calculations of ceramic cutting plates / S. N. Grigor'ev, V. I. Myachenkov, V. V. Kuzin // Russian Engineering Research. — 2011. — Vol. 31, Ne 11. — P. 1060–1066.

*Григорьев, С. Н.* Автоматизированная система термопрочностных расчетов керамических режущих пластин / С. Н. Григорьев, В. И. Мяченков, В. В. Кузин // Вестник машиностроения. — 2011. — № 11. — С. 26–31.

5. *Kuzin, V.* Method of investigation of the stress-strain state of surface layer of machine elements from a sintered nonuniform material / *V. Kuzin, S. Grigoriev* // Applied Mechanics and Materials. — 2014. — Vol. 486. — P. 32–35. ■

Получено 14.05.19

© В. В. Кузин, С. Н. Григорьев, 2019 г.